

Zamanla Değişen Kanallar Varlığında DS-CDMA Sistemler için İteratif Alıcı Iterative Receiver for DS-CDMA Systems in the Presence of Time-Varying Channels

Hakan Doğan¹, Erdal Panayırıcı², Hakan A. Çırpan¹, Gökhan Çam³

¹İstanbul Üniversitesi Elektrik-Elektronik Mühendisliği Bölümü 34320 Avcılar, İstanbul

²Kadir Has Üniversitesi Elektronik Mühendisliği Bölümü 34320 Cibali, İstanbul

³Maltepe Üniversitesi Elektronik Mühendisliği Bölümü 34857 Maltepe, İstanbul

Özetçe

Bu çalışmada, zamanla değişen düz sönmülemeli kanallar varlığında doğrudan dizilimli kod bölme çoklu erişim sistemlerinde birleşik çoklu kullanıcı sezimi ve kanal kestirimi (JDE) için, karmaşıklığı az, verimli bir iteratif alıcı yapısı sunulmuştur. Zamanla değişen kanalın parçalı sabit kanala uygun olarak modellendiği varsayılmıştır. Bir en iyileme ölçütü tanımlanmış ve optimize edilmiş eş ağırlık katsayıları için analitik ifadeler verilmiştir. Benzetim sonuçları, önerilen JDE alıcısının mükemmel bir çoklu kullanıcı verimine sahip olduğu ve kanal katsayılarının kestiriminde oluşan hatalara karşı oldukça dirençli olduğu gösterilmiştir.

Abstract

In this paper, we present an efficient iterative receiver structure of tractable complexity for joint multiuser detection and multichannel estimation (JDE) of direct-sequence code-division multiple-access systems operating in the presence of time-varying flat fading channel. The time-varying channel is assumed to be modeled according to a piece-wise constant channel. An optimality criterion is defined and analytical expressions for the corresponding optimized weight coefficients are given. Monte-Carlo simulations of a synchronous scenario show that the proposed JDE receiver have excellent multiuser efficiency and are robust against errors in the estimation of the channel parameters.

1. Giriş

Kod-bölmeli çoklu erişim (CDMA) sistemlerinde çoklu erişim girişiminin iteratif olarak azaltılması ve kullanıcıların doğrusal çoklu sezimi oldukça önem taşımaktadır. Georgiades ve Han [1], düz sönmülemeli zamanla değişen Rayleigh kanallarda birleşik veri sezimi ve kestirimini uygulamak için bir EM tabanlı alıcı önermiştir. Ayrıca, Feder ve Weinstein[2], EM algoritmasını süper pozisyonlu sinyallerin parametre kestirimi problemine uygulamıştır. Bu yaklaşımın devamında Borran ve Nasiri-Kenari[3], AWGN kanal için düşük karmaşıklık çoklu kullanıcı sezicisini geliştirmiştir. Kocian ve Fleury[4], MC-CDMA sistemlerde düz sönmülemeli kanal varlığında birleşik kanal kestirimi ve veri sezimi üzerinde durmuştur. Bunların yanında Panayırıcı [5]'de onların sonuçlarını frekans seçici

kanallarda yukarı link çoklu taşıyıcı CDMA sistemler için genelleştirmiştir.

Bu çalışmada ise [4]'te sunulan çoklu kullanıcı sezicisi, zamanla değişen kanallar için genelleştirilmiştir. [4]'te temel varsayım, çerçevinin tamamın alınması süresince kanalın değişmediğidir, buda yüksek mobilite olduğu durumlarda uygun değildir. Bundan dolayı [4]'te sunulan sonuçlar zamanla değişen düz sönmülemeli Rayleigh kanallar varlığında doğrudan dizilimli eşzamanlı sinyallerde birleşik çoklu kullanıcı veri sezimi ve kanal kestirimi problemleri için genişletilmiştir.

Notasyon: Makalede vektörler geniş küçük harflerle ifade edilirken matrisler büyük geniş harflerle ifade edilmiştir. Ayrıca $(\cdot)^*$, $(\cdot)^T$ ve $(\cdot)^H, \|\cdot\|$ ise sırasıyla konjuge, devrik, Hermityan ve Frobenius normunu ifade etmektedir. \mathbf{I}_L ifadesi $L \times L$ boyutlu birim matrisi ifade ederken, $diag\{\cdot\}$ ifadesi köşegen matrisi, $tr\{\cdot\}$ ise matrisin izini vermektedir.

2. Sinyal Modeli

Alınan temel bant sinyali aşağıdaki gibi ifade edilebilir:

$$\mathbf{z}(m) = \mathbf{R}\mathbf{B}(m)\mathbf{a}(m) + \mathbf{n}(m), m = 0, 1, \dots, M-1 \quad (1)$$

Burada K aktif kullanıcı sayısı olmakla beraber $K \times K$ köşegen matrisi $\mathbf{B}(m)$, $\mathbf{B}(m) = diag\{b_1(m), b_2(m), \dots, b_K(m)\}$ ile verilmiş, $b_k \in \{-1, +1\}$ m'inci sinyalin verilmesi süresince k'nıncı kullanıcı tarafından iletilen sembollerini gösterir. $K \times K$ 'lık \mathbf{R} matrisi; j. ve k. kullanıcının dalga şekli arasındaki çapraz ilişki p_{jk} olmak üzere

$$\mathbf{R} \triangleq \begin{bmatrix} 1 & \dots & p_{1k} \\ \vdots & \ddots & \vdots \\ p_{k1} & \dots & 1 \end{bmatrix}$$

şeklinde dir.

$\mathbf{a} = [a_1(0) \dots a_1(M-1) \dots a_K(0) \dots a_K(M-1)]^T$ vektörü zamanla değişen kanalı temsil etmektedir ve elamanları karmaşık dairesel simetrik Gauss rasgele değişkenleri şeklinde modellenmiştir. Zamanla değişen kanalın parçalı sabit bir kanala göre modellendiği varsayılmıştır. Bu da kanalın L tane ardışık sembol boyunca sabit kaldığını varsaymaktır. L hız veya doppler frekansı bileşenine bağımlı bir parametredir. Bu yüzden M sembol ($M \gg 1$) alınırken kestirilmesi gereken kanal

katsayıları azaltılmalı, bunun yanında kanal kestiriminin kalitesinde sağlanmalıdır. Parçalı sabit kanal modelin devamında, (1) aşağıdaki şekilde yeniden düzenlenebilir:

$$\mathbf{z}(m) = \mathbf{R}\mathbf{B}(m)\mathbf{a}(\lfloor \frac{m}{L} \rfloor + 1) + \mathbf{n}(m), m = 0, 1, \dots, M-1; \quad (2)$$

Burada $\lfloor x \rfloor$ tamsayıları gösterir ve x 'e eşit yada ondan küçüktür. $q \triangleq \lfloor \frac{m}{L} \rfloor + 1$ olursa $\mathbf{a}(q) \triangleq [a_1(q), a_2(q), \dots, a_K(q)]^T, q = 1, 2, \dots, Q$. $\mathbf{a}_k \triangleq [a_k(1), a_k(2), \dots, a_k(Q)]^T$ indirgenmiş kanal katsayılarıdır ve Q tamsayısı $LQ = M$ şeklindedir. (2)'deki $\mathbf{n}(m)$ K boyutlu sıfır ortalamalı ve $N_0\mathbf{R}$ kovaryans matrisli Gauss rastgele vektördür. Kanal katsayılarının değişimi n . dereceden özbağlımsal(AR) model kullanılarak modellenilebilir. Birinci dereceli durumda her kullanıcının kanal katsayıları aşağıdaki gibi yazılabilir:

$$a_k(q) = p_k a_k(q-1) + \epsilon_k(q), k = 1, 2, \dots, K; q = 1, 2, \dots, Q \quad (3)$$

Burada p_k zaman ilişki katsayıları ve $\epsilon_k(q)$ sıfır ortalamalı ve σ_k^2 değişintili(variance) toplamsal beyaz gürültüdür. p_k parametresi Jakes modeline dayanarak tanımlanabilir:

$$r_k(q - q') = \sigma_k^2 J_0(2\pi f_d(q - q')); q, q' = 1, 2, \dots, Q \quad (4)$$

burada $r_k(q - q')$ sıfırcı mertebeden birinci çeşit Bessel fonksiyonuyla tanımlanan Doppler güç spektrumu için k 'nci kullanıcının kanal zaman frekans ortakdeğişinti fonksiyonudur, $J_0(\cdot)$, ve üstel çoklu yol yoğunluğu ortalama güç σ_k^2 ile profili yapılmıştır. \mathbf{R} pozitif tanımlı olduğunu kabul edersek. Sonra $\mathbf{R}, \mathbf{R} = \mathbf{F}^T \mathbf{F}$ 'e uygun olarak Cholesky ayrıştırılması yapılabilir. Burada \mathbf{F} tek alt terslenebilir üçgen matrisidir. $\mathbf{z}(m)$ 'in \mathbf{z}' 'de $(\mathbf{F}^T)^{-1}$ ile çarpımından

$$\mathbf{y}(m) \triangleq (\mathbf{F}^T)^{-1} \mathbf{z}(m) = \mathbf{F}\mathbf{B}(m)\mathbf{a}(\lfloor \frac{m}{L} \rfloor + 1) + \mathbf{w}(m) \quad (5)$$

$m = 0, 1, \dots, M-1$ elde edilir.

Karmaşık Gauss vektörü $\mathbf{w}(m)$ beyaz olup $N_0\mathbf{I}_K$ ortak deęişinti matrisine sahiptir. Alınan vektörü(5) kullanıcı elemanlarının koşullarına göre aşağıdaki gibi tanımlayabiliriz:

$$\mathbf{y}(m) = \sum_{k=1}^K \mathbf{F}_k b_k(m) \mathbf{a}_k(\lfloor \frac{m}{L} \rfloor + 1) + \mathbf{w}(m), m = 0, 1, \dots, M-1 \quad (6)$$

Burada \mathbf{F}_k \mathbf{F} 'in k . sütun vektörünü, $b_k(m)$ m 'inci sinyalin iletimi boyunca k 'nci kullanıcı tarafından gönderilen veriyi göstermektedir. $M = LQ$ sembolü bir çerçevenin iletildiğini varsayarsak $\mathbf{y}(m)$ 'i $\mathbf{y} \triangleq [y_0^T, y_1^T, \dots, y_{L-1}^T]^T$, $\mathbf{y}_i \triangleq [y^T(i), y^T(i+L), \dots, y^T(i+(Q-1)L)]^T, i = 0, 1, \dots, L-1$ şeklinde elde ederiz. Alınan sinyal aşağıdaki gibi daha öz ve kısa bir forma getirilebilir:

$$\mathbf{y} = \mathbf{\Psi}\mathbf{a} + \mathbf{w}. \quad (7)$$

Burada $\mathbf{a} = [a_1^T, a_2^T, \dots, a_K^T]$ $\mathbf{a}_k = [a_k(1), a_k(2), \dots, a_k(Q)]^T$ ve $\mathbf{\Psi} = [\Psi_{i,j}]$ $L \times K$ blok matrisidir. Bu blok matrisinin $KQ \times Q$ boyutunu aşağıdaki gibi tanımlanabilir: $\Psi_{i,j} = \text{diag}\{b_j(i)\mathbf{F}_j, b_j(L+i)\mathbf{F}_j, \dots, b_j((Q-1)(L+i)\mathbf{F}_j)\}$.

3. EM ALGORİTMASI İLE BİRLEŞİK KANAL KESTİRİMİ VE VERİ SEZİNİMİ

EM algoritması \mathbf{b} 'nin doğrudan hesaplanmasının engellendiği durumda $\hat{\mathbf{b}} = \arg \max_{\mathbf{b}} p(\mathbf{y}|\mathbf{b})$ kestirimine ML yaklaşım sağlayan iteratif bir algoritmadır. Alınan rasgele deęişken \mathbf{y} EM çerçevesindeki eksik veriyi kapsamaktadır ve $\chi \mapsto \mathbf{y}(\chi)$ eşlemesiyle χ 'e ilişkilendirilmiştir. Mevcut probleme EM algoritmasını uygulamak için, (6)'daki alınmış vektörü (9)'da ki toplamı ayırştırmak uygun bir yaklaşım olacaktır:

$$\mathbf{y}(m) = \sum_{k=1}^K \mathbf{x}_k(m), m = 0, 1, \dots, M-1. \quad (8)$$

Burada

$$\mathbf{x}_k(m) = \mathbf{F}_k b_k(m) \mathbf{a}_k(\lfloor \frac{m}{L} \rfloor + 1) + \mathbf{w}_k(m) \quad (9)$$

$\mathbf{x}_k(m)$ k 'nci kullanıcı tarafından iletilen kanal parametresinin $a_k(q), q \triangleq \lfloor \frac{m}{L} \rfloor + 1$ olduğu kanaldan geçerek alınan sinyalinin bileşenini temsil eder.

Gauss gürültü vektörü $\mathbf{w}_k(m)$ (9)'da deęişintisi $N_0 B_k$ olacak şekilde $\sum_{k=1}^K \mathbf{w}_k(m) = \mathbf{w}(m)$ olarak ayırştırılmıştır. B_k katsayılarını, $\mathbf{w}(m)$ gürültüsünün gücünün bir parçası olarak tanımlayıp $\mathbf{x}_k(m)$ 'e atanmıştır ve $\sum_{k=1}^K \beta_k = 1$ olduğu kabul edilmiştir $0 \leq \beta_k \leq 1$. Şimdi problem iletilen semboller $\mathbf{b} = \{b_k(m)\}_{k=1, m=0}^{K, M-1}$ ve karmaşık kanal cevapları $\mathbf{a}_k = [a_k(1), a_k(2), \dots, a_k(Q)]$ \mathbf{y} 'ye dayandırılarak her kullanıcı için ayrı ayrı kestirimi yapılmasına dönüşmüştür. EM algoritmasında alınmış \mathbf{y} verilerine eksik veri gibi bakıp, tam veri $\chi = \{(\mathbf{x}_1, \mathbf{a}_1), (\mathbf{x}_2, \mathbf{a}_2), \dots, (\mathbf{x}_K, \mathbf{a}_K)\}$ 'y1 tanımlayacağız, burada $\mathbf{x}_k = [x_k(0), \dots, x_k(M-1)]^T$ $M = LQ$ ve $k = 1, 2, \dots, K$ şeklindedir. Verilen tam veri setinde, kestirilmesi gereken \mathbf{b} vektör parametresinin logaritmik-olasılık fonksiyonunu aşağıdaki gibi tanımlayabiliriz.

$$\log p(\chi|\mathbf{b}) = \sum_{k=1}^K \log(\mathbf{x}_k, \mathbf{a}_k|\mathbf{b}_k). \quad (10)$$

Burada

$$\log p(\mathbf{x}_k, \mathbf{a}_k|\mathbf{b}_k) = \log p(\mathbf{x}_k|\mathbf{b}_k, \mathbf{a}_k) + \log p(\mathbf{a}_k|\mathbf{b}_k) \quad (11)$$

ve $\mathbf{b}_k = [b_k(0), b_k(1), \dots, b_k(M-1)]^T$ 'dir. b_k, a_k birbirinden bağımsız olduğu durumda $\log p(\mathbf{a}_k|\mathbf{b}_k)$ 'yi ihmal edebiliriz. **Beklenen Adımı(E-Step)** Koşullu beklenti x 'i gözlenen \mathbf{y} ile deęiştirmek ve \mathbf{b} eşitliklerini onun i . iteratifi ile kestirmekle

$$Q(\mathbf{b}|\mathbf{b}^{(i)}) = E \left\{ \log p(\chi|\mathbf{b}|\mathbf{y}, \mathbf{b}^{(i)}) \right\} \quad (12)$$

elde edilir. (8)'deki $\log p(\mathbf{y}|\mathbf{b})$ 'in özel bir formu dikkate alınırsa, eşitlik 12 aşağıdaki gibi ayırştırılabilir:

$$Q(\mathbf{b}|\mathbf{b}^{(i)}) = \sum_{k=1}^K Q_k(\mathbf{b}_k|\mathbf{b}^{(i)}). \quad (13)$$

Burada

$$Q_k(\mathbf{b}_k|\mathbf{b}^{(i)}) = E \left\{ \log p(\mathbf{x}_k, \mathbf{a}_k|\mathbf{b}_k|\mathbf{y}, \mathbf{b}^{(i)}) \right\} \quad (14)$$

$$= E \left\{ \log p(\mathbf{x}_k | \mathbf{b}_k, \mathbf{a}_k) | \mathbf{y}, \mathbf{b}^{(i)} \right\} \quad (15)$$

\mathbf{b}'_k 'nin bağımsızlığı durumundaki ihmal edilmesiyle, (6)'dan $\log p(\mathbf{x}_k | \mathbf{b}_k, \mathbf{a}_k)$ aşağıdaki gibi hesaplanır.

$$\log p(\mathbf{x}_k | \mathbf{b}_k, \mathbf{a}_k) \sim \sum_{m=0}^{M-1} \Re \{ \mathbf{F}_k^T \mathbf{b}_k(m) a_k^* (\lfloor \frac{m}{L} \rfloor + 1) \mathbf{x}_k(m) \} \quad (16)$$

(16)'yı (15)'de yazarsak

$$Q_k(\mathbf{b}_k | \mathbf{b}^{(i)}) = \sum_{m=0}^{M-1} \Re \{ \mathbf{F}_k^T \mathbf{b}_k(m) (a_k^* (\lfloor \frac{m}{L} \rfloor + 1) x(m))^{(i)} \} \quad (17)$$

(12)'de uyulan gösterimin benimsenmesiyle

$$(a_k^* (\lfloor \frac{m}{L} \rfloor + 1) \mathbf{x}_k(m))^{(i)} \triangleq E \{ a_k^* (\lfloor \frac{m}{L} \rfloor + 1) (\mathbf{x}_k(m) | \mathbf{y}, \mathbf{b}^{(i)}) \} \quad (18)$$

ve koşullu olasık kuralının uygulanmasıyla (18) aşağıdaki hali alır:

$$(a_k^* (\lfloor \frac{m}{L} \rfloor + 1) \mathbf{x}_k(m))^{(i)} = E \{ a_k^* (\lfloor \frac{m}{L} \rfloor + 1) E(\mathbf{x}_k(m) | \mathbf{y}, \mathbf{b}^{(i)}, \mathbf{a}) | \mathbf{y}, \mathbf{b}^{(i)} \} \quad (19)$$

y verilmişken $\mathbf{x}_k(m)$ 'in koşullu olasılığı, \mathbf{a} ve $\mathbf{b} = \mathbf{b}^{(i)}$ gauss ve ortalamasıyla

$$E(\mathbf{x}_k(m) | \mathbf{y}, \mathbf{b}^{(i)}, \mathbf{a}) = \mathbf{F}_k \mathbf{b}_k^{(i)}(m) a_k (\lfloor \frac{m}{L} \rfloor + 1) + \beta_k \left(\mathbf{y}(m) - \sum_{j=1}^K \mathbf{F}_j \mathbf{b}_j^{(i)}(m) a_j (\lfloor \frac{m}{L} \rfloor + 1) \right) \quad (20)$$

ile bulunur. Burada $\mathbf{b}_k^{(i)}(m) \triangleq E(\mathbf{b}_k(m) | \mathbf{y}, \mathbf{b}^{(i)}, \mathbf{a})$ 'dır. (20)'yi (19)'da yazarsak (15)'i aşağıdaki gibi tekrar yazılabilir:

$$(a_k^* (\lfloor \frac{m}{L} \rfloor + 1) \mathbf{x}_k(m))^{(i)} = \mathbf{F}_k \mathbf{b}_k^{(i)}(m) E \{ |a_k (\lfloor \frac{m}{L} \rfloor + 1)|^2 | \mathbf{y}, \mathbf{b}^{(i)} \} + \beta_k [E \{ a_k^* (\lfloor \frac{m}{L} \rfloor + 1) | \mathbf{y}, \mathbf{b}^{(i)} \} \mathbf{y}(m) - \sum_{j=1}^K \mathbf{F}_j \mathbf{b}_j^{(i)}(m) E \{ a_j (\lfloor \frac{m}{L} \rfloor + 1) a_k^* (\lfloor \frac{m}{L} \rfloor + 1) | \mathbf{y}, \mathbf{b}^{(i)} \}] \quad (21)$$

Diğer bir deyişle, \mathbf{a} 'nın önsel olasılık yoğunluk fonksiyonu (prior pdf) aşağıdaki gibi seçilir. Kanal değişkenleri bir birinci dereceden AR modeli olduğu kabul edilmesiyle doğru kanal katsayıları birbirleriyle

$$a_k(q) = p_k a_k(q-1) + \epsilon_k(k), q = 1, 2, \dots, Q; k = 1, 2, \dots, K \quad (22)$$

şeklinde ilişkilendirilir, burada p_k her kullanıcıdan alınan bloklar arasındaki zaman ilişki katsayılarıdır. İlk değerler $a_k(0), k = 1, 2, \dots, K$ 'ların bilindiği varsayılmaktadır. Matris notasyonunu kullanırsa (22) aşağıdaki gibi ifade edilebilir:

$$\mathbf{M}_k \mathbf{a}_k = \boldsymbol{\xi}_k + \epsilon_k \quad (23)$$

$$\mathbf{M}_k \triangleq \begin{bmatrix} 1 & 0 & 0 & \dots & 0 & 0 \\ -p_k & 1 & 0 & \dots & 0 & 0 \\ 0 & -p_k & 1 & \dots & 0 & 0 \\ \vdots & \vdots & \vdots & \ddots & \vdots & \vdots \\ 0 & 0 & 10 & \dots & -p_k & 1 \end{bmatrix}$$

$$\boldsymbol{\xi}_k \triangleq [p_k a_k(0), 0, \dots, 0]^T$$

$$\epsilon_k \triangleq [\epsilon_k(1), \epsilon_k(2), \dots, \epsilon_k(Q)]$$

ve $\mathbf{a}_k = [a_k(1), a_k(2), \dots, a_k(Q)]^T$. $\epsilon_k \sim N(0, \sigma_k^2 \mathbf{I}_Q)$ olduğundan, (23)'den şöyle devam eder

$$\mathbf{m}(k) \triangleq E(\mathbf{a}_k) = \mathbf{M}_k^{-1} \boldsymbol{\xi}_k \quad (24)$$

$$= a_k(0) [p_k, p_k^2, \dots, p_k^Q]^T$$

$$\mathbf{C}_k \triangleq E \{ (\mathbf{a}_k - \mathbf{m}(k)) (\mathbf{a}_k - \mathbf{m}(k))^T \}$$

$$= \sigma_k^2 \mathbf{M}_k^{-1} (\mathbf{M}_k^{-1})^T$$

Bazı matematiksel işlemlerden sonra \mathbf{C}_k 'nin i. ve j. elamanı $j = 1, 2, \dots, Q$ için aşağıdaki gibi bulunabilir.

$$\mathbf{C}_k(i, j) = \begin{cases} \sigma_k^2 p_k^{j-1}, & \text{if } i=1; \\ \sigma_k^2 (p_k^{i+j-2} + p_k^{i+j-4} + \dots + p_k), & \text{if } i \neq 1. \end{cases}$$

$\mathbf{a} = [\mathbf{a}_1^T, \mathbf{a}_2^T, \dots, \mathbf{a}_K^T]^T$ 'nin önsel olasılık yoğunluk fonksiyonu aşağıdaki gibi ifade edilebilir.

$$p(\mathbf{a}) \sim \exp[-(\mathbf{a} - \mathbf{m})^T \mathbf{C}^{-1} (\mathbf{a} - \mathbf{m})] \quad (25)$$

burada $\mathbf{m} \triangleq [\mathbf{m}_1^T, \mathbf{m}_2^T, \dots, \mathbf{m}_K^T]^T$ ve $\mathbf{C}^{-1} = \text{diag}\{\mathbf{C}_1^{-1}, \mathbf{C}_2^{-1}, \dots, \mathbf{C}_K^{-1}\}$. $\mathbf{C}_k^{-1} = \mathbf{M}_k^T \mathbf{M}_k / \sigma_k^2, k = 1, 2, \dots, Q$ için gösterilebilir.

Ayrıca $\omega \sim N(0, N_0 \mathbf{I})$ olduğundan (7) formundan \mathbf{y} ve $\mathbf{b}^{(i)}$ verildiğinde \mathbf{a} 'nın ve koşullu olasılığı aşağıdaki gibi yazılabilir:

$$p(\mathbf{a} | \mathbf{y}, \mathbf{b}^{(i)}) \sim p(\mathbf{y} | \mathbf{a}, \mathbf{b}^{(i)}) p(\mathbf{a}) \sim \exp[-\frac{1}{N_0} (\mathbf{y} - \Psi \mathbf{a})^T (\mathbf{y} - \Psi \mathbf{a}) - (\mathbf{a} - \mathbf{m})^T \mathbf{C}^{-1} (\mathbf{a} - \mathbf{m})]$$

Bazı matematiksel işlemlerden sonra

$$p(\mathbf{a} | \mathbf{y}, \mathbf{b}^{(i)}) \sim N(\boldsymbol{\mu}^{(i)}, \boldsymbol{\Sigma}^{(i)}) \quad (26)$$

denklemi elde edilir. Burada

$$\boldsymbol{\mu}^{(i)} = \boldsymbol{\Sigma}^{(i)} \left[\mathbf{C}^{-1} \mathbf{m} + \frac{1}{N_0} \Psi^{(i)T} \mathbf{y} \right] \quad (27)$$

$$\boldsymbol{\Sigma}^{(i)} = \left[\mathbf{C}^{-1} + \frac{1}{N_0} (\Psi^{(i)})^T (\Psi^{(i)}) \right]^{-1}$$

matris Ψ (7) ve (8)'de tanımlanmıştır.

Her kullanıcının karşılıklı subblock vektör ve matrislerine dayanarak $K \times Q$ boyutlu $\boldsymbol{\mu}^{(i)}$ vektörü $K \times K \times Q$ boyutlu $\boldsymbol{\Sigma}^{(i)}$ matrisi (28)'de

$$\boldsymbol{\mu}^{(i)} = [(\boldsymbol{\mu}_1^{(i)})^T, (\boldsymbol{\mu}_2^{(i)})^T, \dots, (\boldsymbol{\mu}_K^{(i)})^T]^T, \boldsymbol{\Sigma}^{(i)} = \left[\boldsymbol{\Sigma}_{k,l}^{(i)} \right]_{k,l=1}^K \quad (28)$$

şeklinde tanımlanabilir. Burada $\boldsymbol{\mu}_k^{(i)} = \boldsymbol{\mu}_k^{(i)}[q], q = 1, 2, \dots, Q$ ve $\boldsymbol{\Sigma}_{k,l}^{(i)} = \boldsymbol{\Sigma}_{k,l}^{(i)}[p, q], p, q = 1, 2, \dots, Q$. Şimdi eşitlik (21)'in sağ tarafını kullanarak beklenen değeri hesaplayalım: $q \triangleq (\lfloor \frac{m}{L} \rfloor + 1), m = 1, 2, \dots, M = LQ$.

$$a_k^{(i)}(q) \triangleq E(a_k(q) | \mathbf{y}, \mathbf{b}^{(i)}) = \boldsymbol{\mu}_k^{(i)}[q] \quad (29)$$

$$(|a_k(q)|^2)^{(i)} \triangleq E(a_k(q) a_k^*(q) | \mathbf{y}, \mathbf{b}^{(i)})$$

$$= \boldsymbol{\Sigma}_{(k,k)}^{(i)}[q, q] + \boldsymbol{\mu}_k^{(i)}[q] (\boldsymbol{\mu}_k^{(i)}[q])^*$$

$$(a_k^*(q)) (a_j(q))^{(i)} = E \{ (a_k^*(q) a_j(q) | \mathbf{y}, \mathbf{b}^{(i)}) \} \quad (30)$$

$$= \boldsymbol{\Sigma}_{(k,j)}^{(i)}[q, q] + \boldsymbol{\mu}_j^{(i)}[q] (\boldsymbol{\mu}_k^{(i)}[q])^*$$

En Büyükleme Adımı(M-Step) EM algoritması uygulamasının ikinci adımı M-step'tir. Bu adımda \mathbf{b} parametresi $(i+1)$ 'inci adımı

$$\mathbf{b}^{(i+1)} = \arg \max_{\mathbf{b}} Q(\mathbf{b}|\mathbf{b}^i) = \sum_{k=1}^K Q_k(\mathbf{b}_k|\mathbf{b}^{(i)}). \quad (31)$$

denklemine uygun olarak güncellenir. $Q_k(\mathbf{b}|\mathbf{b}_k^{(i)})$ (32)'de ayrı ayrı enbüyüklemeyle M adımı aşağıdaki gibi uygulanabilir:

$$\mathbf{b}_k^{(i+1)} = \arg \max_{\mathbf{b}_k} Q_k(\mathbf{b}_k|\mathbf{b}^{(i)}) \quad (32)$$

burada (17)'den

$$Q_k(\mathbf{b}_k|\mathbf{b}^{(i)}) = \sum_{m=0}^{M-1} b_k(m) \mathfrak{R}\{\mathbf{F}_k((a_k^*(\lfloor \frac{m}{L} \rfloor + 1)\mathbf{x}_k(m))^{(i)})\} \quad (33)$$

şeklinde elde edilir. Ayrıca kodlama kullanılmadığı zaman (33)'ün devamında $b_k^{(i+1)}$ 'in her elamanı; ifadenin sağ tarafındaki karşılıklı toplamların en büyüklemeyle bağımsız olarak aşağıdaki gibi tespit edilebilir:

$$b_k^{(i+1)}(m) = \text{sgn}[\mathfrak{R}\{\mathbf{F}_k^T(a_k^*(\lfloor \frac{m}{L} \rfloor + 1)\mathbf{x}_k(m))^{(i)}\}] \quad (34)$$

Burada $(a_k^*(\lfloor \frac{m}{L} \rfloor + 1)\mathbf{x}_k(m))^{(i)}$ (21)'de önceden belirlendiği durumdur ve $\text{sgn}(\cdot)$ signum fonksiyonunu gösterir. (21)'i (35)'te yerine yazarsak

$$b_k^{i+1}(m) = \text{sgn}[\mathfrak{R}\{b_k^{(i)}(m)(|a_k(\lfloor \frac{m}{L} \rfloor + 1)|^2)^{(i)} + \beta_k \mathbf{F}_k^T[(a_k^*(\lfloor \frac{m}{L} \rfloor + 1))^{(i)}\mathbf{y}(m) - \sum_{j=1}^K \mathbf{F}_j b_j^{(j)}(m)(\lfloor \frac{m}{L} \rfloor + 1)(\lfloor \frac{m}{L} \rfloor + 1)]\}] \quad (35)$$

denklemini elde ederiz.

[4]'de verilen, gözlenen geniş boyutlu M çerçeveleri için, (31)'deki ilk terim ikincisiyle kıyaslandığında ihmal edilebilir. İkinci terimi eler ve denklemi tekrar yazarsak 36'da ki indirgenmiş denklemi elde ederiz:

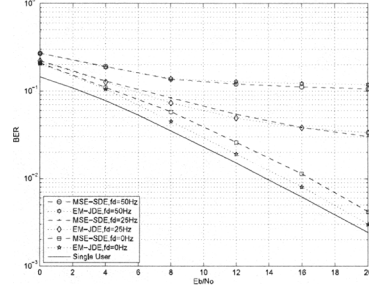
$$b_k^{i+1}(m) = \text{sgn}[\mathfrak{R}\{b_k^{(i)}(m)(|a_k(\lfloor \frac{m}{L} \rfloor + 1)|^2)^{(i)}(1 - \beta_k) \quad (36)$$

$$+ \beta_k (a_k^*(\lfloor \frac{m}{L} \rfloor + 1))^{(i)} [z_k(m) - \sum_{j=1, j \neq k}^K p_k b_j^{(j)}(m) a_j(\lfloor \frac{m}{L} \rfloor + 1)]^{(i)} \}]$$

burada $z_k(m) = \mathbf{F}_k^T \mathbf{y}(m)$ 'dir. Sonuç olarak Eşitlik (36), kısmen girişimin iptali ile birleşik kanal kestirimi ve veri sezimini olarak yorumlanabilir.

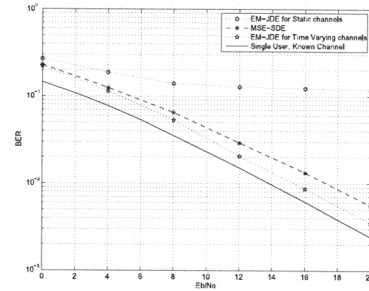
4. Bilgisayar Benzetimleri

Sistem parametreleri aşağıdaki gibi seçilebilir: kullanıcı sayısı $K=8$, pilot sembol sayısı $p=4$, çerçeve uzunluğu $M=40$, $T_s = 136 \times 10^{-6}$, ve eşit çapraz ilişki katsayıları $p_{k,k'} = 0.4$, $k, k' = 1, \dots, 8$, $k \neq k'$. p pilot bitlerinin çerçeve içinde düzgün dağıldıklarından, iki bilinen bit pozisyonu arasında normalize mesafe $p_{j+1} - p_j = 13$ 'e eşittir. Shannon'un örnekleme teorisine göre EM-JDE programı, normalize Doppler frekansı

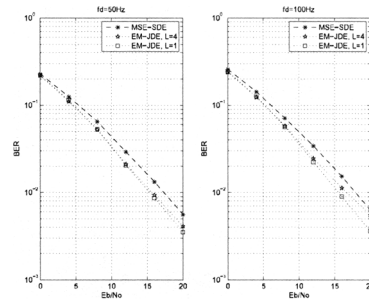


Şekil 1: Zamanla değişen kanal için durağan kanal modelinde EM-JDE algoritmasının uygulamasının BER performansı

$f_d T_s = 0.5/(p_{j+1} - p_j) = 0.038$ olmadığı sürece kanal katsayılarını tam olarak kestirebileceğini kabul edebiliriz. Bundan dolayı, Doppler kesim frekansı verilen örnekleme zamanı için 280Hz'dir. Şekil 1'de zamanla değişen kanal kullanıldığı durum modelinde EM algoritmasının durağan kanal uygulamasında etkinliğinin azaldığı gözlenmiştir. Üç iterasyon uygulanmış ve BER performansı farklı doppler kaymaları $f_d = 0Hz$, $f_d = 25Hz$, $f_d = 50Hz$ için tespit edilmiştir. [4]'teki algoritmanın; zamanla değişen kanallarda hata verimi gösterilmiştir. Şekil 2'de zamanla değişen kanallar için önerilen EM-JDE algoritmasını durağan kanal modeline uygulanan EM-JDE'den daha iyi bir uygulama olduğu gösterilmiştir.



Şekil 2: EM-JDE algoritmalarının karşılaştırılması



Şekil 3: Farklı L ve f_d değerleri için EM-JDE algoritmalarının BER performansı

Ayrıca Şekil 3'te L boyutlu alt çerçevenin seçimi $f_d = 50Hz$, $f_d = 100Hz$ için incelenmiştir. $L=4$ olması durumunda, EM-JDE BER performansının sırasıyla $f_d =$

$50Hz, f_d = 100Hz$ için 15DB'den 12DB'e düştüğü gözlenmiştir. Bu yüzden, EM-JDE bütün kanalın değiştiği (L=1) durumunda daha yüksek SNR ve Doppler frekansında hesaplanıp işlem sona erdirilmiştir.

5. Sonuç

Önerilen yaklaşım veri sezinimi yaparken kanal kestirimini de kapsayan bunların yanında her adımında girişim iptali yapan yaklaşık bir ifade şeklinde türetilmiştir. Bir kaç pilot sembolü kullanmanın EM algoritmasının etkili başlamasına yeterli olduğu sonucuna varılmıştır. Önceden bilinen diğer alıcı yapılarının kıyaslanması da yapılmıştır. Bilinen kanallarda, tüm yaklaşımların uygulamasının neredeyse benzer olduğu gözlenmiştir. Ayrıca, kanal kestiriminin gerekli olduğunda, bilgisayar benzetimleri önerilen algoritmaların BER performansına dayanılarak geçerliliğini kanıtlamıştır.

6. Kaynakça

- [1] C. N. Georghades and J. C. Han, "Sequence estimation in the presence of random parametres via the EM algorithm," *IEEE Trans. Commun.*, vol.45, pp.300308, Mar.1997.
- [2] M. Feder and E. Weinstein, "Parameter Estimation of superimposed signals using the EM algorithm," *IEEE Tran. on Acoustic, Speech and Signal Processing*, Vol. 36, pp. 477-489, April 1988.
- [3] M.J Borran and M. Nasiri-Kenari, "An efficient detection tecnique for synchronous CDMA communication systems based on the expectation-maximization algorithm," *IEEE Trans. Veh. TEchnol.*, vol. 49, pp.16631668, Sept.2000
- [4] A. Kocian and B. H. Fleury, "EM-based joint data detection and channel estimation of DS-CDMA signals," *IEEE Trans. Commun.*, vol. 51, no.10, pp.17091720, Oct.2003
- [5] E. Panayirci, H.Dogan, H.A. Cirpan and B.H.Fluery, "Joint Data Detection and Channel Estimation for Uplink MC-CDMA Systems over Frequency Selective Channels," *6th International Workshop on Multi Carrier Spread Spectrum(MC-SS 2007)*, May 07-09-2007, Herrsching, Germany